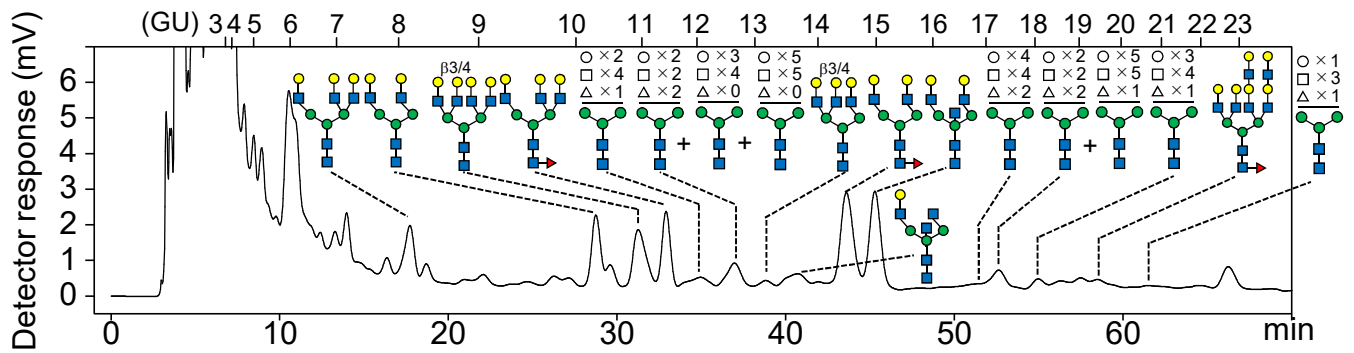
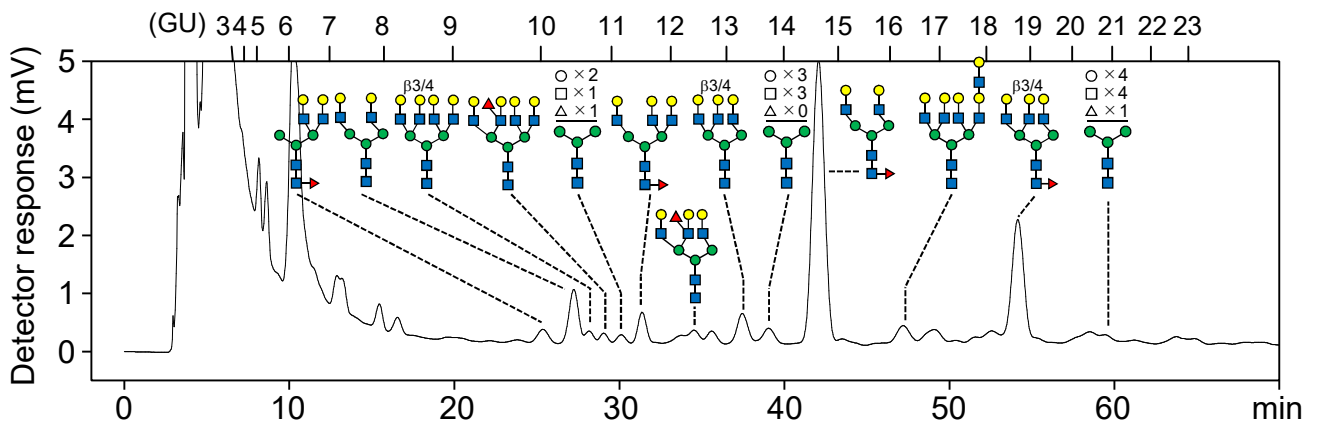


Figure S2 (Kondo et al)

H520-sEVs



SK-MES-1-sEVs



LK-2-sEVs

